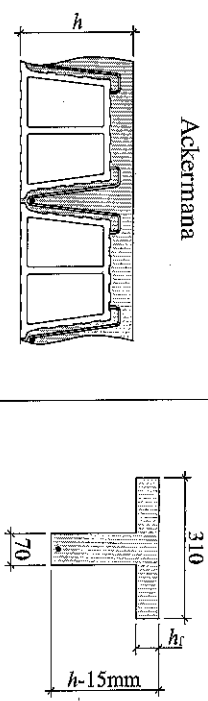
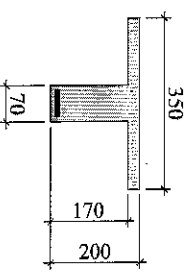
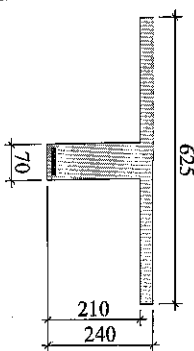
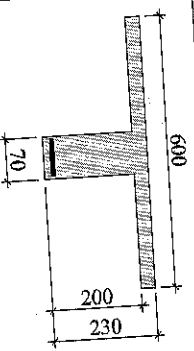
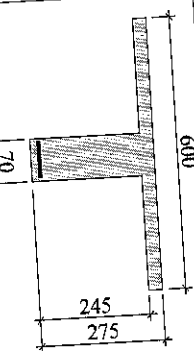
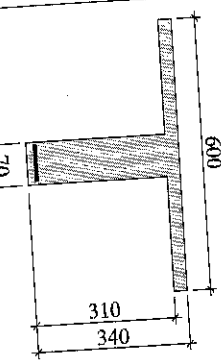
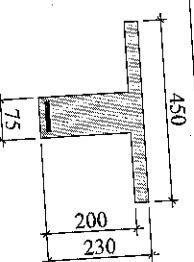


Tablica 7.2. Momenty bezwładności przekrojów zastępczych żeber wybranych stropów

Rodzaj stropu	Zastępczy przekrój teowy żeber stropu	Momenty bezwładności zastępczego przekroju teowego żebra I_z, m^4
Ackermanna		$h_f = 0,03 m; h = 0,15 \Rightarrow I_z = 1,06 \cdot 10^{-4} m^4$ $h_f = 0,04 m; h = 0,15 \Rightarrow I_z = 1,51 \cdot 10^{-4} m^4$ $h_f = 0,03 m; h = 0,18 \Rightarrow I_z = 1,52 \cdot 10^{-4} m^4$ $h_f = 0,04 m; h = 0,18 \Rightarrow I_z = 2,14 \cdot 10^{-4} m^4$ $h_f = 0,03 m; h = 0,20 \Rightarrow I_z = 1,88 \cdot 10^{-4} m^4$ $h_f = 0,04 m; h = 0,20 \Rightarrow I_z = 2,63 \cdot 10^{-4} m^4$ $h_f = 0,03 m; h = 0,22 \Rightarrow I_z = 2,28 \cdot 10^{-4} m^4$ $h_f = 0,04 m; h = 0,22 \Rightarrow I_z = 3,17 \cdot 10^{-4} m^4$
Baumatt BT-1, BT-2		$I_z = 2,66 \cdot 10^{-4} m^4$
Baumatt BT-1A		$I_z = 10,08 \cdot 10^{-4} m^4$

Tablica 7.2. cd.

Rodzaj stropu	Zastępczy przekrój teowy żeber stropu	Momenty bezwładności zastępczego przekroju teowego żebra I_z, m^4
DZ-3		$I_z = 8,66 \cdot 10^{-4} m^4$
DZ-4		$I_z = 12,17 \cdot 10^{-4} m^4$
DZ-5		$I_z = 18,18 \cdot 10^{-4} m^4$
EF-45, F-45		$I_z = 5,05 \cdot 10^{-4} m^4$

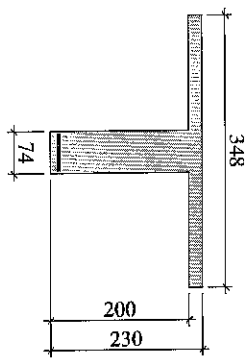
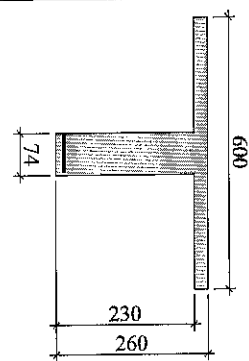
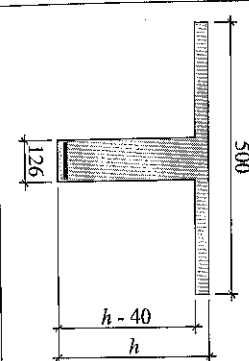
Tablica 7.2. cd.

Rodzaj stropu	Zasiepek, przekrój teowy żebra stropu	Moment bezwładności zasiepego przekroju teowego żebra I_z, m^4
F60		$I_z = 7,33 \cdot 10^{-4} m^4$
Fert 40, Ceram 40A		$I_z = 3,85 \cdot 10^{-4} m^4$
Fert 45, Ceram 50A		$I_z = 4,67 \cdot 10^{-4} m^4$
Fert 60, Ceram 60A		$I_z = 4,67 \cdot 10^{-4} m^4$

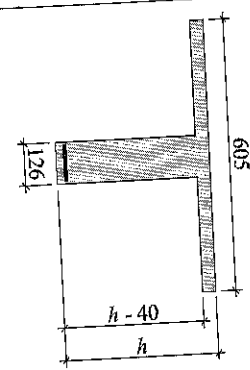
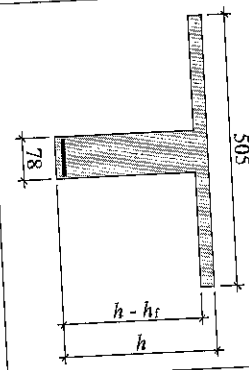
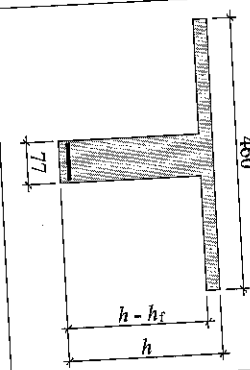
Tablica 7.2. cd.

Rodzaj stropu	Zasiepek, przekrój teowy żebra stropu	Moment bezwładności zasiepego przekroju teowego żebra I_z, m^4
Leier, Leier Plus		$h_f = 0,03 m; h = 0,225 \Rightarrow I_z = 6,11 \cdot 10^{-4} m^4$ $h_f = 0,03 m; h = 0,27 \Rightarrow I_z = 8,62 \cdot 10^{-4} m^4$
Miro 1A, 1B, 1C		$h_f = 0,03 m; h = 0,218 \Rightarrow I_z = 5,50 \cdot 10^{-4} m^4$ $h_f = 0,03 m; h = 0,240 \Rightarrow I_z = 6,58 \cdot 10^{-4} m^4$ $h_f = 0,035 m; h = 0,25 \Rightarrow I_z = 8,45 \cdot 10^{-4} m^4$
Miro 1D		$h_f = 0,04 m; h = 0,34 \Rightarrow I_z = 16,79 \cdot 10^{-4} m^4$
Miro 2A, 2B, 2C		$h_f = 0,04 m; h = 0,3 \Rightarrow I_z = 11,17 \cdot 10^{-4} m^4$ $h_f = 0,04 m; h = 0,34 \Rightarrow I_z = 14,15 \cdot 10^{-4} m^4$ $h_f = 0,04 m; h = 0,45 \Rightarrow I_z = 24,33 \cdot 10^{-4} m^4$

Tablica 7.2. cd.

Rodzaj sropu	Zasępy przekroju teowego zebra sropu	Moment bezwładności zasępego przekroju teowego zebra I_z, m^4
MT/23		$I_z = 3,32 \cdot 10^{-4} m^4$
MT/26		$I_z = 10,51 \cdot 10^{-4} m^4$
SBP 50, Porotherm 50		$h_f = 0,04 m; h = 0,19 \Rightarrow I_z = 4,13 \cdot 10^{-4} m^4$ $h_f = 0,04 m; h = 0,23 \Rightarrow I_z = 5,87 \cdot 10^{-4} m^4$ $h_f = 0,04 m; h = 0,27 \Rightarrow I_z = 7,98 \cdot 10^{-4} m^4$

Tablica 7.2. cd.

Rodzaj sropu	Zasępy przekroju teowego zebra sropu	Moment bezwładności zasępego przekroju teowego zebra I_z, m^4
SBP 62,5, Porotherm 62,5		$h_f = 0,04 m; h = 0,19 \Rightarrow I_z = 5,69 \cdot 10^{-4} m^4$ $h_f = 0,06 m; h = 0,21 \Rightarrow I_z = 11,15 \cdot 10^{-4} m^4$ $h_f = 0,04 m; h = 0,23 \Rightarrow I_z = 8,06 \cdot 10^{-4} m^4$ $h_f = 0,06 m; h = 0,25 \Rightarrow I_z = 15,18 \cdot 10^{-4} m^4$ $h_f = 0,04 m; h = 0,27 \Rightarrow I_z = 10,88 \cdot 10^{-4} m^4$ $h_f = 0,06 m; h = 0,29 \Rightarrow I_z = 19,82 \cdot 10^{-4} m^4$
Teriva I, Teriva Nova		$h_f = 0,03 m; h = 0,24 \Rightarrow I_z = 6,47 \cdot 10^{-4} m^4$ $h_f = 0,04 m; h = 0,25 \Rightarrow I_z = 9,67 \cdot 10^{-4} m^4$ $h_f = 0,05 m; h = 0,26 \Rightarrow I_z = 13,41 \cdot 10^{-4} m^4$
Teriva Ibis, II, III		$h_f = 0,03 m; h = 0,265 \Rightarrow I_z = 6,60 \cdot 10^{-4} m^4$ $h_f = 0,04 m; h = 0,275 \Rightarrow I_z = 9,57 \cdot 10^{-4} m^4$ $h_f = 0,04 m; h = 0,34 \Rightarrow I_z = 14,27 \cdot 10^{-4} m^4$ $h_f = 0,05 m; h = 0,35 \Rightarrow I_z = 19,34 \cdot 10^{-4} m^4$

